THERMOPLASTIC RESIN FILM ROLL

Patent Number:

JP 2-194924

Publication date:

1990-08-01

Inventor(s):

ABE, Koichi, et al

Applicant(s):

TORAY IND INC.

Application Number: JP 1989 0014647 1989 01 23

Abstract

PURPOSE: To contrive to level up the roll shape by a method wherein film roll is produced by winding an inert particle-containing laminated thermoplastic resin film under the state that specified roll hardness is obtained.

CONSTITUTION: The film roll concerned is biaxially oriented film consisting of a layer, which is made of an inert particle-containing thermoplastic resin A and at least on one side of which a layer made of thermoplastic resin B is provided. The ratio t/d of the thickness (t) of the layer made of the resin A to the mean particle diameter (d) of the inert particles in the layer made of the resin A lies within the range of 0.1-2. Further, the unevenness of the widthwise thickness of the layer made of the resin A is 50% or less. The roll hardness of film roll lies within the range of 81-97. As the thermoplastic resin A, any thermoplastic resin without limitation such as polyester, polyolefin, polyamide, polyphenylenesulfide or the like is used. More favorable roll shape results when the mean particle diameter (d) of inert particles in the thermoplastic resin A lies within the range of 0.007-2.5mum and the content of the inert particle lines within the range of 2-40wt.%. Crystalline polymer such as polyester, polyamide or the like is preferably used as the thermoplastic resin B.

⑫ 公 開 特 許 公 報 (A) 平2-194924

®Int. Cl. 5

個発

明 者 識別配号

庁内整理番号

④公開 平成2年(1990)8月1日

B 29 C B 32 B B 29 L 55/12 27/40 9:00

7446-4F 7016-4F 4F

審査請求 未請求 請求項の数 5 (全9頁)

会発明の名称 熱可塑性樹脂フイルムロール

崎

願 平1-14647 ②特

巌

願 平1(1989)1月23日 222出

晃 明 部 個発 者 阿

滋賀県大津市園山1丁目1番1号 東レ株式会社滋賀事業

岡

場内

滋賀県大津市園山1丁目1番1号 東レ株式会社滋賀事業

場内

彰 @発 明 者 中

滋賀県大津市園山1丁目1番1号 東レ株式会社滋賀事業

場内

砂出 願人 東レ株式会社 東京都中央区日本橋室町2丁目2番1号

阳 抓

1. 発明の名称

熱可塑性樹脂フィルムロール

2. 特許請求の範囲

(1) 不活性粒子を含有する熱可塑性樹脂 A より なる層(A層)を熱可塑樹脂Bよりなる層(B層) の少なくとも片面に設けて構成される二軸配向フ ィルムが巻かれてなるフィルムロールであって、 該 A 層の厚さ t と該 A 層に含有される不活性粒子 の平均粒径dの比、t/dが0.1~2、該A層 の幅方向厚さ斑が50%以下、該フィルムロール の巻き硬度が81~97の範囲であることを特徴 とする熱可塑性樹脂フィルムロール。

- (2) 熱可塑性樹脂 A、 B がともにポリエステル であることを特徴とする請求項(1)に記載の熱 可塑性樹脂フィルムロール。
- (3) 該A層の厚さが0. 005~2 µmの範囲 であることを特徴とする請求項(1)または(2) に記載の熱可塑性樹脂フィルムロール。
- (4) 熱可塑性樹脂 A が結晶性ポリエステルであ

り、かつ、該A圏の表面の全反射ラマン結晶化指 数が20cm~以下であることを特徴とする請求 項(1)~(3)のいずれかに記載の熱可塑性樹 脂フィルムロール。

(5) 熱可塑性樹脂Aが平均粒径0.007~2. 5μmの不活性粒子を2~40重量%含有し、熱 可塑性樹脂 Β が平均粒径 0. 007~1μ m の不 活性粒子を0.001~0.15重量%含有する ことを特徴とする請求項(1)~(4)のいずれ かに記載の熱可塑性樹脂フィルムロール。

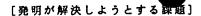
3. 発明の詳細な説明

[産業上の利用分野]

本発明は熱可塑性樹脂フィルムロールに関する ものである。

[従来の技術]

熱可塑性樹脂フィルムロールとしては、フイル ムの中心線平均粗さ(Ra)と巻き硬さの関係を 特定範囲とした熱可塑性樹脂フィルムロールが知 られている(例えば、特開昭57-193322 号公報)。



しかし、上記従来の熱可塑性樹脂フイルムロールは、経時的に発生する「しわ」が完全には解消できず、この「しわ」のためフイルムの平滑性が劣り、例えば磁気記録媒体用ベースフイルムに用いた時の電磁変換特性、コンデンサー用に用いた時の電気特性が悪化するという問題点があった。

本発明はかかる問題点を改善し、経時的な「しわ」の発生のない、すなわち、巻姿が良好な熱可塑性樹脂フイルムロールを提供することを課題と する。

[課題を解決するための手段]

本発明は上記課題を解決するために、不活性粒子を含有する熱可塑性樹脂Aよりなる層(A層)を熱可塑樹脂Bよりなる層(B層)の少なくとも片面に設けて構成される二軸配向フィルムが巻かれてなるフィルムロールであって、該A層の厚させと該A層に含有される不活性粒子の平均粒径はの比、 t / dが0.1~2、該A層の幅方向厚さ 斑が50%以下、該フィルムロールの巻き硬度が

となるのできわめて望ましい。また、エチレンテレフタレートを主要構成成分とするポリエステルの場合に卷姿がより一届良好となるので特に発変しない範囲内で、熱可塑性樹脂を混合して、熱可塑性樹脂を混合して、本発明の目的を阻害しない範囲内で、酸化防止剤、熱安定剤、滑剤、紫外線吸収剤などの有機添加剤が通常添加される程度添加されていてもよい。

本発明の熱可塑性樹脂A中の不活性粒子は、粒径比(粒子の長径/短径)が1.0~1.3の粒子、特に、球形状の粒子の場合に巻姿がより一層 良好となるので望ましい。

また、本発明の熱可塑性樹脂 A 中の不活性粒子はフィルム中での単一粒子指数が 0. 7以上、好ましくは 0. 9以上である場合に稳姿がより一脳良好となるので特に望ましい。

また、本発明の熱可塑性樹脂A中の不活性粒子は相対標準偏差が0.6以下、好ましくは0.5 以下の場合に巻姿がより一層良好となるので望ま 81~97の範囲であることを特徴とする熱可塑 性樹脂フィルムロールをその母子とする。

本発明を構成する熱可塑性樹脂Aはポリエステ ル、ポリオレフィン、ポリアミド、ポリフェニレ ンスルフィドなど特に限定されることはないが、 特に、ポリエステル、中でも、エチレンテレフタ レート、エチレン α , β - ビス (2-クロルフェノ キシ) エタン-4.1'-ジカルボキシレート、エチレ ン2.6-ナフタレート単位から選ばれた少なくとも 一種の構造単位を主要構成成分とする場合に巻姿 がより一層良好となるので望ましい。また、本発 明を構成する熱可塑性樹脂は結晶性である場合に **巻姿がより一層良好となるのできわめて望ましい。** ここでいう結晶性とはいわゆる非晶質ではないこ とを示すものであり、定量的には結晶化パラメー 夕における冷結晶化温度Tccが検出され、かつ 結晶化パラメータ△Tcgが150℃以下のもの である。さらに、示差走査熱量計で測定された融 解熱 (融解エンタルピー変化) が 7.5 cal/ g以上の結晶性を示す場合に巻姿がより一層良好

1. 0.

本発明の熱可塑性樹脂A中の不活性粒子の種類 は特に限定されないが、上記の好ましい粒子特性 を満足するにはアルミナ珪酸塩、1次粒子が凝集 した状態のシリカ、内部析出粒子などは好ましく なく、コロイダルシリカに起因する実質的に球形 のシリカ粒子、架構高分子による粒子(たとえば 架橋ポリスチレン)などがあるが、特に10重量 % 減量時温度 (窒素中で熱重量分析装置島津TG -30Mを用いて測定。昇温速度20℃/分)が 380℃以上になるまで架橋度を高くした架橋高 分子粒子の場合に咎姿がより一層良好となるので 特に望ましい。なお、コロイダルシリカに起因す る球形シリカの場合にはアルコキシド法で製造さ れた、ナトリウム含有量が少ない、実質的に球形 のシリカの場合に巻姿がより一層良好となるので 特に望ましい。しかしながら、その他の粒子、例 えば炭酸カルシウム、二酸化チタン、アルミナ等 の粒子でも熱可塑性樹脂A層の厚さtと平均粒径 dの比の適切なコントロールにより十分使いこな. せるものである。

- t -

熱可塑性樹脂A中の不活性粒子の平均粒径(直 径) dは特に限定されないが、0.007~2. 5 μ m 、特に 0. 0 2 ~ 1 μ m の範囲である場合 に咎姿がより一層良好となるので望ましい。

本発明の熱可塑性樹脂A中の不活性粒子の含有 **量は2~40重量%、好ましくは3~30重量%、** さらに好ましくは4~15重量%である場合に巻 姿がより一層良好となるので望ましい。

本発明を構成するフイルムは上記熱可塑性樹脂 Aよりなる層(A層)を熱可塑性樹脂Bよりなる 裔 (B 曆)の少なくとも片面に設け、二軸配向せ しめたフイルムである。一軸あるいは無配向フイ ルムでは巻姿が不良となるので好ましくない。こ の配向の程度は特に限定されないが、高分子の分 子配向の程度の目安であるヤング率が長手方向、 幅方向ともに350kg/mm²以上である場合 に巻姿がより一層良好となるのできわめて望まし い。分子配向の程度の目安であるヤング率の上限 は特に限定されないが、通常、1500kg/m

朋事しない範囲内で、他種ポリマをプレンドして もよいし、また酸化防止剤、熱安定剤、滑剤、紫 外線吸収剤などの有機添加剤が通常添加される程 度添加されていてもよい。

熱可塑性樹脂Bのフィルム中には不活性粒子を 含有している必要は特にないが、平均粒径が 0. 007~1μm、特に0.02~0.45μmの 不活性粒子が 0.001~0.15重量%、特に 0.005~0.05重量%含有されていると、 巻姿がより一層良好となるので望ましい。含有す る不活性粒子の種類は熱可塑性樹脂Aに望ましく 用いられるものを使用することが望ましい。熱可 塑性樹脂AとBに含有する粒子の種類、大きさは 同じでも異なっていても良い。

上記熱可塑性樹脂Aと熱可塑性樹脂Bの結晶化 パラメータムTcgの差(A-B)は特に限定さ れないが、−30~+20℃の場合に、卷姿がよ り一層良好となるので特に望ましい。

また、本発明を構成するフイルムのA層の表面

m² 程度が製造上の限界である。ここで熱可塑性 樹脂AとBは同じ種類でも、異なるものでも良い。

熱可塑性樹脂Bとしては結晶性ポリマが望まし く、特に、結晶化パラメータATcgが20~1 00℃の範囲の場合に巻姿がより一層良好となる ので望ましい。具体例として、ポリエステル、ポ リアミド、ポリフェニレンスルフィド、ポリオレ フィンが挙げられるが、ポリエステルの場合に巻 姿がより一層良好となるので特に望ましい。また、 ポリエステルとしては、エチレンテルフタレート、 エチレンα, β - ビス (2- β - β タン-1.1'-ジカルポキシレート、エチレン2.6-ナ フタレート単位から選ばれた少なくとも一種の構 造単位、特にエチレンテレフタレートを主要構成 成分とする場合に巻姿が特に良好となるので望ま しい。ただし、本発明を阻害しない範囲内、望ま しい結晶性を損なわない範囲内で、好ましくは5 モル%以内であれば他成分が共重合されていても よい。

本発明の熱可塑性樹脂Bにも、本発明の目的を

ましくは18 c m - 1以下、さらに17 c m - 1以下 の場合に咎姿がより一層良好となるのできわめて 蛪ましい。

本発明を構成するフイルムの A 層の表面の 2 次 イオンマススペクトルによって測定される表層粒 子濃度比は特に限定されないが、表層粒子濃度比 が1/10以下、特に1/50以下である場合に 卷姿がより一層良好となるので特に望ましい。

本発明を構成するフィルムのA層の厚さtとA 閥に含有する不活性粒子の平均粒径dの比、t/ dは0.1~2、好ましくは0.2~1.2、さ らに好ましくは0.3~0.9の範囲であること が必要である。t/dが上記の範囲より小さくて も、逆に大きくても発姿が不良となるので好まし くない。

本発明を構成するフィルムのA層の幅方向厚さ 斑は50%以下、好ましくは25%以下、さらに 好ましくは20%以下である必要がある。幅方向 厚さ斑が上記の範囲より大きいと巻姿が不良とな の全反射ラマン結晶化指数が20cm~以下、好、 るので好ましくない。幅方向厚さ斑の下限は特に

限定されないが、2%程度が製造上の限界である。

本発明を構成するフイルムの A 層の厚さは 0. 0 0 5 \sim 2 μ m、好ましくは 0. 0 1 \sim 1 μ m、 さらに好ましくは 0. 0 1 \sim 0. 5 μ m である場合に発姿がより一層良好となるので特に望ましい。

本発明を構成するフイルムのA層の表面の平均 突起高さは5~500nm、好ましくは10~3 00nm、さらに好ましくは15~200nmの 範囲である場合に巻姿がより一層良好となるので 特に望ましい。

本発明を構成するフイルムのA層の表面の中心 線平均粗さRaと最大高さRtの比、Rt/Ra が9.0以下、特に8.5以下の場合に巻姿がよ り一層良好となるので特に望ましい。

本発明は上記の被層フイルムをコア等に巻き上げていき、巻き上げ長さ3000m以上の必要長さまで巻いて本発明のフイルムロールができあがる。コアの材質は特に限定されず、紙、プラスチック等公知のものを用いることができる。また、外径は1~10インチ、特に2~8インチのもの

の温度で30分~5時間、特に1~3時間熱処理 する方法は延伸破れなく、本発明範囲の厚さと平 均粒径の関係のフイルムを得るのに有効である。

また熱可塑性樹脂(ポリエステルも含めて)に不活性粒子を含有せしめる方法として、粒子をエチレングリコール中で1.40~200℃、特に180~200℃の温度で30分~5時間、特に1~3時間熱処理した後、溶媒を水に置換したスラリーの形で熱可塑性樹脂と混合し、ペント方式の2軸押出機を用いて混練して熱可塑性樹脂に練り込む方法も、延伸破れなく、本発明範囲の厚にさわめて有効である。

粒子の含有量を調節する方法としては、上記方法で高濃度マスターを作っておき、それを製膜時に不活性粒子を実質的に含有しない熱可塑性樹脂で希釈して粒子の含有量を関節する方法が有効である。

次に、不活性粒子を所定量含有する熱可塑性樹脂 A および熱可塑性樹脂 B のペレットを必要に応

が好ましく用いられる。 長さは $80 \sim 2000$ m m 、 特に $80 \sim 1500$ m m のものが好ましく用いられる。

本発明のロールの巻き硬度は81~97、好ましくは82~96、さらに好ましくは85~95の範囲であることが必要である。巻硬度が上記の範囲より小さいと経時によって幅方向の巻じわが発生しやすく、逆に大きいと長手方向の巻じわが発生しやすいので好ましくない。

次に本発明フィルムロールの製造方法について 説明する。

まず、熱可塑性樹脂Aに不活性粒子を含有せしめる方法としては、熱可塑性樹脂がポリエステルの場合には、ジオール成分であるエチレングリコールのスラリーの形で分散せしめ、このエチレングリコールを所定のジカルボン酸成分と重合せしめるのが延伸破れなく、本発明範囲の厚さと平均粒径の関係を得るのに有効である。

また、不活性粒子のエチレングリコールのスラ リーを140~200℃、特に180~200℃

じて乾燥したのち(A、Bは同種、異種どちらで もよい)、公知の溶融積層用抑出装置に供給し、 スリット状のダイからシート状に押出し、キャス ティングロール上で冷却固化せしめて未延伸フィ ルムを作る。すなわち、2または3台の抑出し機、 2または3層のマニホールドまたは合流プロック を用いて、熱可塑性樹脂A、Bを積層し、口金か ら2または3層のシートを押し出し、キャスティ ングロールで冷却して未延伸フイルムを作る。こ の場合、熱可塑性樹脂Aのポリマ流路に、スタテ ィックミキサー、ギヤポンプを設置する方法は延 伸破れなく、本発明範囲の厚さと平均粒径の関係、 望ましい範囲の表層粒子濃度比のフィルムを得る のに有効である。また、合流ブロックとして矩形 のフィードプロックを用いるのが本発明範囲の積 閻厚さ斑を得るのにきわめて有効である。また、 熱可塑性樹脂A側の押し出し機の溶融温度を、熱 可塑性樹脂B側より、10~40℃高くすること が、延伸破れなく、本発明範囲の厚さと平均粒径 の関係、積層厚さ斑、望ましい範囲の表層粒子濃、 度比、全反射ラマン結晶化指数のフイルムを得る のに有効である。

次にこの未延伸フィルムを二軸延伸し、二軸配 向せしめる。延伸方法としては、逐次二軸延伸法 または同時二軸延伸法を用いることができる。た だし、最初に長手方向、次に幅方向の延伸を行な う逐次二軸延伸法を用い、長手方向の延伸を3段 階以上に分けて、総擬延伸倍率を3.5~6.5 倍で行なう方法は延伸破れなく、本発明範囲の厚 さと平均粒径の関係のフイルムを得るのに有効で ある。長手方向延伸温度は熱可塑性樹脂の種類に よって異なり一概には貫えないが、通常、その1 段目を50~130℃とし、2段目以降はそれよ り高くすることが本発明範囲の積層厚さ斑、本発 明の望ましい範囲の表層粒子濃度比のフイルムを 得るのに有効である。長手方向延伸速度は500 0~50000%/分の範囲が好適である。幅方 向の延伸方法としてはステンタを用いる方法が一 般的である。延伸倍率は、3.0~5.0倍の範 囲が適当である。幅方向の延伸速度は、1000

で除去し粒子を露出させる。処理条件はポリエステルは灰化されるが粒子はダメージを受けない条件を選択する。これをSEM(走査型電子顕微鏡)で観察し、粒子の画像(粒子によってできる光の波淡)をイメージアナライザー(たとえばケンプリッジインストルメント製QTM900)に結び付け、観察箇所を変えて粒子数5000個以上で次の数値処理を行ない、それによって求めた数平均径Dを平均粒径とする。

 $D = \Sigma D_i / N$

ここで、D,は粒子の円相当径、Nは個数である。 (2)粒子の含有量

ポリエステルは溶解し粒子は溶解させない溶媒を選択し、粒子をポリエステルから遠心分離し、 粒子の全体重量に対する比率(重量%)をもって 粒子含有量とする。場合によっては赤外分光法の 併用も有効である。

(3) 結晶化パラメータ Δ T c g 、 融解熱

パーキンエルマー社製のDSC(示差走査熱屋 計)Ⅱ型を用いて測定した。DSCの測定条件は ~20000%/分、温度は80~160℃の範囲が好適である。次にこの延伸フィルムを熱処理する。この場合の熱処理温度は170~200℃、特に170~190℃、時間は0.5~60秒の範囲が好適である。

次にこの二軸配向熱可塑性樹脂フイルムのミルロールを、センターワインドとサーフェイスワインド併用方式のスリッターにセットし、所定良ではなるまで巻き上げて本発明の熱可塑性樹脂フイルムロールは完成する。巻硬度の調節はミルロールから製品ロールを巻取る時のスリッターにおいて、フイルムの張力とフイルムロールに接しているコンタクトロールの面圧をコントロールする方法が有効である。

[物性の測定方法ならびに効果の評価方法]

本発明の特性値の測定方法並びに効果の評価方法は次の通りである。

(1) 粒子の平均粒径

フィルムからポリエステルをプラズマ低温灰化 処理法 (たとえばヤマト科学製PR-503型)

次の通りである。すなわち、試料10mgをDSC 装置にセットし、300℃の温度で5分間溶融し た後、液体窒素中に急冷する。この急冷試料を1 0℃/分で昇温し、ガラス転移点Tgを検知する。 さらに昇温を続け、ガラス状態からの結晶化発熱 ピーク温度をもって冷結晶化温度Tccとした。 さらに昇温を続け、融解ピークから融解熱を求め た。ここでTccとTgの差(Tcc-Tg)を 結晶化パラメータムTcgと定義する。

(4) 表面の分子配向(屈折率)

ナトリウムD線(589nm)を光顔として、
アッベ屈折率計を用いて測定した。マウント液に
はヨウ化メチレンを用い、25℃、65%RHに
て測定した。ポリマの二軸配向性は長手方向、厚さ方向の屈折率をN1、N2、N3にし
た時、(N1-N2)の絶対値が0.07以下であることをひとつの基準とできる。また、
レーザー型屈折率計を用いて屈折率を測定しても
良い。さらに、この方法では測定が難しい場合は

①光源

②試料のセッティング

フィルム表面を全反射プリズムに圧着させ、 レーザのプリズムへの入射角 (フィルム厚さ

アルゴンイオンレーザー (5145Å) ②試料のセッティング

レーザー偏光方向(S偏光)とフィルム長手 方向が平行となるようにフィルム表面を全反射プリズムに圧着させ、レーザのプリズムへの入射角 (フィルム厚さ方向との角度)は60°とした。

③ 校出器

PM: RCA31034/Photon Counting System (Hamamatsu C1230) (supply 1600V)

④ 測定条件

SLIT 1000 µ m

LASER 100 mW

GATE TIME 1.0 sec

SCAN SPEED 12 cm⁻³/min

SAMPLING INTERVAL 0.2 cm⁻¹

REPEAT TIME 6

(6) 表面突起の平均高さ

2 検出器方式の走査型電子顕微鏡 [ESM-32 0 0、エリオニクス(株) 製}と断面測定装置 [PMS-1、エリオニクス(株) 製] において

方向との角度)は60°とした。

③ 検出器

PM: RCA31034/Photon Counting System (Hamanatsu C1230) (supply 1600Y)

④ 测定条件

SLIT 1000 \(\mu\) m

LASER 100m\(\P\)

GATE TIME 1. 0 i e c

SCAN SPEED 12 c m - 1/m i n

SAMPLING INTERVAL 0. 2 c m - 1

REPEAT TIME 6

(5)全反射ラマン結晶化指数

Jobin-Yvon社製Remanor U-1000ラマンシステムにより、全反射ラマンスペクトルを測定し、カルボニル基の伸縮振動である1730cm⁻¹の半価幅をもって表面の全反射ラマン結晶化指数とした。測定条件は次のとおりである。測定深さは、表面から500~1000オングストローム程度である。

00 光颜

フィルム表面の平坦面の高さをりとして走査した 時の突起の高さ測定値を画像処理装置 [IBAS 2000、カールツァイス(株)製]に送り、画 像処理装置上にフイルム表面突起画像を再構築す る。次に、この表面突起画像で突起部分を2億化 して得られた個々の突起の面積から円相当径を求 めこれをその突起の平均径とする。また、この2 値化された個々の突起部分の中で最も高い値をそ の突起の高さとし、これを個々の突起について求 める。この測定を場所をかえて500回線返し、 突起個数を求め、測定された全突起についてその 髙さの平均値を平均髙さとした。また個々の突起 の高さデータをもとに、高さ分布の標準偏差を求 めた。また走査型電子顕微鏡の倍率は、1000 ~8000倍の間の値を選択する。なお、場合に よっては、高精度光干渉式3次元表面解析装置 (WYKO社製TOPO-3D、対物レンズ:4 0~200倍、高解像度カメラ使用が有効)を用 いて得られる高さ情報を上記SEMの値に読み替 えて用いてもよい。

(7) 中心線平均表面粗さRa、最大高さRt

小坂研究所製の高精度薄膜段差測定器 E T - 1 0 を用いて測定した。条件は下記のとおりであり、 2 0 回の測定の平均値をもって値とした。

• 触針先端半径: 0. 5 µ m

• 触 針 荷 重: 5 mg

• 瀬 定 長: 1 m m

カットオフ値: 0. 08mm

なお、Ra、Rtの定義は、たとえば、奈良治郎 著「表面粗さの測定・評価法」(総合技術センタ ー、1983)に示されているものである。

(8) ヤング率

JIS-Z-1702に規定された方法にしたがって、インストロンタイプの引っ張り試験機を用いて、25℃、65%RHにて測定した。

(9) 固有粘度 [n] (単位はd1/g)

オルソクロルフェノール中、25℃で測定した 溶液粘度から下記式から計算される値を用いる。 すなわち、

 $\eta_{sr}/C = [\eta] + K [\eta]^2 \cdot C$

1 次 イ オ ン 種: 0 2 *

1次イオン加速電圧:12 【V

1 次イオン電流:20054

ラスター領域: 400μm□

分析領域:ゲート30%

测 定 真 空 度: 6. 0×10-9Tolt

E - G U N: 0.5 KV - 3.0 A

(11) 単一粒子指数

フイルムの断面を透過型電子顕微鏡(TEM)で写真観察し、粒子を検知する。観察倍率を10000倍程度にすれば、それ以上分けることができない1個の粒子が観察できる。粒子の占める全面積をA、その内2個以上の粒子が凝集している凝集体の占める面積をBとした時、(A-B)/Aをもって、単一粒子指数とする。TEM条件は下記のとおりであり1視野面積:2μm²の測定を場所を変えて、500視野測定する。

・装置:日本電子製JEM-1200EX

観察倍率:100006

•加速電圧:100kV

(10) 表層粒子濃度比

2次イオンマススペクトル(SIMS)を用いて、フィルム中の粒子に起因する元素の内のもっとも高濃度の元素とポリエステルの炭素元素の濃度比を粒子濃度とし、厚さ方向の分析を行なう。SIMSによって測定される最表層粒子濃度(深さりの点)における粒子濃度 A とさらに深さ方向の分析を続けて得られる最高濃度 B の比、 A / B を表層濃度比と定義した。測定装置、条件は下記のとおりである。測定装置、条件は下記のとおりである。

① 測定装置

2 次イオン質量分析装置(SIMS) 西独、ATONIKA 社製 A-DIDA3000

② 测定条件

・切片厚さ:約1000オングストローム (12) 粒径比

上記(1)の測定において個々の粒子の長径の 平均値/短径の平均値の比である。

すなわち、下式で求められる。

長径=ΣD1,/N

短径=ΣD2,/N

D1,、D2,はそれぞれ個々の粒子の長径 (最大径)、短径(最短径)、Nは総個数である。 (13)粒径の相対標準偏差

上記(1)の方法で測定された個々の突起径 D_1 、平均径 D_2 、粒子総数 N から計算される標準 偏差 σ ($=\sqrt{\{\Sigma(D_1-D)^2/N\}}$) を平均 径 D で割った値(σ / D)で表わした。

(14) 結晶化促進係数

上記(3)の方法で粒子を1重風%含有するポリエステルの Δ Tcg(I)、およびこれから粒子を除去した同粘度のポリエステルの Δ Tcg(I)を測定し、 Δ Tcg(I)と Δ Tcg(I)の Δ Tcg(I) をもっ

て、結晶化促進係数とした。

(15) フイルムロールの巻き硬度

フイルムロールの外側から高分子計器(株)製のハードネステスター(タイプC)を押しあてで 測定した。測定点はロールの軸方向に5点ずつ、 円周方向に120 間隔で3か所、合計15点測定し、これらの値の算術平均値をもってフイルムロールの巻き硬度とした(ただし、フイルムロール両端部の10mmずつは除いた全幅を5等分して各等分の中央部を測定した)。

(16)卷姿

フイルムロールを温度 4 0 ℃、湿度 8 0 % R H の雰囲気で 3 0 日間放置した後、ロールを観察し、しわ(長手、幅方向)の発生状態をチェックした。
(17) 熱可塑性樹脂 A 層の積層厚さ

2次イオンマススペクトル(SIMS)を用いて、熱可塑性樹脂A層中の粒子に起因する元素の内のもっとも高濃度の元素とポリエステルの炭素元素の濃度比を粒子濃度とし、熱可塑性樹脂A層の表面から厚さ方向の分析を行なう。SIMSに

ロールの幅方向にフイルムの積層厚さを測定し、その最大値と最小値の差 a を平均値 b で割った値、 a / b 、に 1 0 0 を乗じた値(%)を幅方向厚さ
遊とした。ただし、フイルムロール両端部の 1 0
m m ずつは除いた全幅を 2 0 等分して各等分の中
央部を測定した

[実施例]

本発明を実施例に基づいて説明する。 実施例1~6、比較例1~6

平均粒径の異なる各種粒子を含有する水スラリーを調製し粒子濃度を40重量%に関節はた。このスラリーをベント方式の2軸混錬押出機を用いて各種熱可塑性樹脂に分散、含有せせ粒粒を発展では、整理性樹脂とを混合し熱可塑性樹脂を抑出した。熱可塑性樹脂を抑出機とに供給、280℃で溶融し、が電印出機2に供給、280℃で溶融し、プロック)で合流積層し、静電印加キャスト法を

よって測定される粒子濃度が最高値となる点A、さらに深さ方向の分析を続けて粒子濃度が最高値の1/2になる点の深さBを検知し(B>A)、この深さBをもって熱可塑性樹脂A層の積層厚さとした。測定装置、条件は下記のとおりである。

① 測定装置

2 次イオン質量分析装置(SIMS) 西独、ATOMIKA 社製 A-DIDA3000

② 測定条件

1 次 イ オ ン 種: 0 2 *

1次イオン加速電圧:12KV

1 次 イ オ ン 電 流:200 n A

ラスター領域:400μm□

分 析 傾 域:ゲート30%

测 定 真 空 度:6.0×10⁻⁹Torr

E - G U N: 0. 5 KY - 3. 0 A

なお、上記SIMSの測定が難しい場合には薄膜段差測定器、干渉法など公知の方法によっても 積層厚さは測定できる。

(18) 熱可塑性樹脂 A 層の幅方向厚さ斑

用いて表面温度30℃のキャスティング・ドラム に巻きつけて冷却固化し、2層構造の未延伸フィ ルムを作った。この時丸型のピノールを使用した り、A、B層の溶験粘度に差をつけたり、抑し出 し条件を変更したりして積層厚さ斑の異なるフィ ルムを作った。また、それぞれの押出機の吐出母 を関節し熱可塑性樹脂Aよりなる層(A層)の厚 さを調節した。この未延伸フイルムを温度80℃ にて長手方向に4.5倍延伸した。この延伸は2 組ずつのロールの周速差で、3段階で行なった。 この一軸延伸フイルムをステンタを用いて延伸速 度2000%/分で100℃で幅方向に4.0倍 延伸し、定長下で、200℃にて5秒間熱処理し、 総厚さ1`5μm、A層厚さの異なる二軸配向積層 フィルムを得た。なお、比較のために厚さ15μ mの単層の二軸配向フイルムも作った。

これらのフイルムのミルロールをセンターワインドとサーフェースワインド併用方式のスリッターにセットし、1 m幅にスリットして、外径 6 インチのプラスチックコアに長さ 6 0 0 0 m 巻き上

げた。さらに、スリット条件を変更して、フイル ムロールの巻き硬度が異なるものを作った。

これらのフィルムロールの本発明のパラメータ、 巻姿は第1表に示したとおりであり、本発明パラ メータが本範囲内の場合は巻姿が良好であったが、 そうでない場合は巻姿は不良であった。

実施例7

実施例1に用いた熱可塑性樹脂A、Bの原料を 用いて、矩形の3層積層用フィードプロックを用 いてA/B/Aの3層フイルムを作り同様にして フイルムロールを作った。このフィルムロールの 本発明のパラメータは本発明範囲であり、卷姿は 良好であった(第1表)。

実施例8、9

熱可塑性樹脂A、Bの種類を変更して二軸配向 フィルム (2層構造)を作り、これらのフィルム を巻き上げてフィルムロールを作った。これらの フィルムロールの本発明のパラメータは本発明範 囲であり、卷姿は良好であった(第1表)。

[発明の効果]

本発明は、製法の工夫により、不活性粒子を含 有する特殊な積層熱可塑性樹脂フイルムを特定の 巻き硬度で巻き上げたフィルムロールとしたので 巻姿のレベルを従来よりはるかに向上できたもの である。本発明フイルムロールの用途は特に限定 されないが、経時変化で発生したフィルムのわず かなしわが加工工程上、製品性能上特に問題とな る磁気記録媒体用、特に磁気テープ用として特に 有用である。

また、本発明は製膜工程内で、コーティングな どの操作なしで直接複合種層によって作ったフィ ルムのロールであり、製膜工程中あるいはその後 のコーティングによって作られる積層フィルムの ロールに比べて巻姿そのものが優れているばかり ではなく、フイルムのプロッキングや経時変化に よる摩擦係数の変化もないため有利であり、しか もコスト面、品質の安定性などにおいて有利であ るものである。

第1表

	無可塑性樹脂 A 中の粒子			熱可塑性樹脂A のフィルム厚き	t/d比 熱可塑性樹脂A	幅方向厚さ斑	ロールの巻き硬度	苍姿
	平均粒径 d (μm)	含有量 (重量%)	粗奴	(μm)	t:平均值	(%)		
実施例1	0.3	6	架橋ポリ スチレン	0.27	0.9	1 5	9 1	良好
実施例2	0.15	5	コロイダルシリカ	0.1	0.67	10	8.8	良好
実施例3	0.08	1 0	尚主	0.04	0.5	1 2	9 4	良好
実施例 4	0.3	10	二酸化チタン (ルチル型)	0.1	0.33	1 8	9 2	良好
奖施例5	0.03	1 2	コロイダルシリカ	0.02	0.67	15	8 8	良好
実施例 6	0.45	1 5	間上	0.4	0.89	10	9 0	良好
比較例1	0.3	10	周上	0.02	0.07	1.8	9 2	不良
比较例 2	0. 15	8	周上	0.5	3. 3	1 6	8 8	不良
比較例3	0.3	6	架橋ポリ スチレン	0. 27	0.9	5 5	8 8	不良
比较例4	0.3	6	角上	0.27	0.9	16	7.5	不良
比较例5	0.3	6	コロイダルシリカ	0.27	0.9	17	9 9	不良
比较例 6	0. 15	0.3	周王	1 5	単層フイルム	1 5	8 8	不良
実施例で	0.3	- 6	架橋ポリ スチレン	0.27 (片倒)	0.9	1 5	. 88	良好
爽趣例8	0.3	6	コロイダル	0. 27	0.9	1 5	9 1	負好
実施例9***	0.15	10	ME	0. 1	0.67	1 2	8 8	良好

実施例7はA/B/Aの3層フイルムである
 実施例8は無可塑性機取A、Bがポリフェニレンスルフィド
 実施例9は無可塑性機取Aがポリエチレンー2、6ーナフタレート、Bがポリエチレンテレフタレート

特許出頭人 東 レ 株 式